

روش فاکتور کردن در و اپاشی های نیمه لپتونی مزون B

حسین مهربان: دانشگاه سمنان، دانشکده علوم، گروه فیزیک

hmehraban@semnan.ac.ir

چکیده

عمومی‌ترین روش پدیدارشناسی برای بررسی خواص و اپاشی‌های مختلف مزون B ، روش فاکتور کردن^۱ است که برای و اپاشی‌های نیمه لپتونی^۲ دو جسمی بهکار می‌رود. در این تحقیق با استفاده از روش فاکتور کردن، آهنگ زمانی و اپاشی‌های^۳ مزون B مطابق با فرضیه فرانمایی رنگی^۴ بدست آمده است. در این تحقیق روش فاکتور کردن برای بدست آوردن دامنه و اپاشی‌های کوارک b به منظور محاسبه دامنه و اپاشی‌های لپتونی^۵ و نیمه لپتونی^۶ مزون B بهکار رفته است.

مقدمه

برای تولید هادرон‌ها در برهمکنش‌های ضعیف بهوسیله کوارک‌ها روش‌های بسیاری وجود دارد [۱]. برای تولید هادرон‌ها تابع حالت ابتدایی با تابع حالت نهایی جفت می‌شوند و هنگامی فرایند این تولید پیچیده‌تر می‌شود که برهمکنش‌های شاخه‌ای گلئون و کوارک^۷، زوج‌های تولید شده و لپتون‌ها را نیز در نظر بگیریم. به همین دلیل توصیف تئوری و اپاشی‌های هادرонی (غیرلپتونی) مشکل است. ممکن است برهمکنش‌های QCD هنگامی‌که یک زوج کوارک-پادکوارک تولید می‌کنند، فرایند این و اپاشی‌ها را پیچیده کند؛ ولی با توجه به نتایج تجربی تولید و اپاشی‌های مزون B که در شتابدهنده‌های فعال دنیا مطرح است [۲]، می‌توان از تغییر گلئونی تابع حالت نهایی صرف نظر کرد و تابع حالت نهایی هادرон‌ها را با تقریب خوب بدون تغییر گلئونی در نظر گرفت [۳]. بنا بر این در غیاب هر گونه فرضیه فیزیکی، ما می‌توانیم صرفاً از نظر پدیدارشناسی، و اپاشی‌های هادرонی مزون‌های مختلف را بررسی کنیم. عمومی‌ترین روش پدیدارشناسی برای بررسی خواص و اپاشی‌های مختلف مزون B ، روش فاکتور کردن است که برای و اپاشی‌های هادرонی دو جسمی بهکار می‌رود [۴]. فرضیه فرانمایی رنگی اساس روش فاکتور کردن است که در آن دامنه‌های فاکتوری در داخل دو عنصر ماتریسی تولید می‌شوند [۵]. این روش بهطور گسترده در فیزیک کوارک‌های سنجیک که تقریباً تنها روش برای و اپاشی‌های هادرонی مزون‌های مربوط به این کوارک‌هاست، استفاده می‌شود [۶].

واژه‌های کلیدی: کوارک b ، مزون B ، فاکتور کردن، لپتونی، نیمه لپتونی، آهنگ زمانی و اپاشی.

پذیرش ۸۸/۸/۲۷

دریافت ۸۶/۳/۱۵

^۱.Factorization Method

^۲.Semileptonic Decays

^۳.Decay Rates

^۴.Colour Transparency hypothesis

^۵.Leptonic

^۶.Semileptonic

^۷.trees of gluon and quark

با این حال، روش فاکتور کردن نمی‌تواند کمیت‌های تئوری و تمام واپاشی‌های هادرونی ممکن را به خوبی شرح دهد [۷]. اغلب واپاشی‌هایی که این روش به خوبی از عهده آن‌ها بر می‌آید حالت‌هایی هستند که در آن‌ها تابع حالت نهایی بر حسب زوج کوارکی که بوجود می‌آیند به ذره نهایی وابستگی نداشته باشند [۸]. به هر حال باید دقیق کرد که بهکار بردن این روش وابستگی مستقیم به واپاشی ذراتی دارد که در هر مورد بررسی می‌شوند. بهطور خلاصه فرضیه‌هایی که دامنه پراکنده‌ی را بر حسب دو عنصر ماتریس جدا از یکدیگر بیان می‌کنند، روش فاکتور کردن نامیده می‌شوند. این روش همچنین برای واپاشی‌های نیمه لیتونی که دامنه آن‌ها به دو دامنه لیتونی و هادرونی تقسیم می‌شوند نیز بهکار می‌رود [۹].

مثال ساده واپاشی هادرونی دو جسمی مزون $B \rightarrow D\pi \rightarrow B$ را که وابسته به مدل کوارک $c\bar{d}u \rightarrow b$ است در نظر می‌گیریم. بعد از این‌که مزون B از طریق برهم کنش ضعیف واپاشیده شد، کوارک‌ها با یک ممنتوم چشمگیر با گلئون‌های میانی و زوج کوارک- پادکوارک سبک^۱ به سختی بر هم کنش دارند. اگر زوج کوارک- پادکوارک سبک $d\bar{u}$ دارای جرم ناوردای کوچکی مثل $m_\pi \approx m(d\bar{u})$ باشد، آن‌گاه این دو کوارک با یکدیگر در حالت میانی بهصورت جفت شده باقی می‌مانند. همچنین اگر این دو کوارک در حالت ابتدایی دارای حالت رنگی منفرد^۲ باشند، آن‌گاه آن‌ها در حالت میانی نه بهصورت منفرد، بلکه بهصورت تابع حالت رنگی منفرد دو قطبی^۳ بر هم کنش خواهند داشت. از آنجا که مسافت بین جفت کوارک- پادکوارک d و \bar{u} در فرایند برهم کنش با گلئون‌ها و سایر کوارک‌ها به آهستگی افزایش می‌یابد، ممکن است که خاصیت رنگی این زوج کوارک- پادکوارک، قبل از این‌که یک ممنتوم دو قطبی بسازد، از بین برود. در این حالت است که زوج کوارک- پادکوارک می‌تواند به عنوان یک ذره منفرد π در نظر گرفته شود و این از نظر پذیرش‌شناسی یک فرآنمایی رنگی است [۱۰]. در فرضیه فرآنمایی رنگی فرض می‌شود که زوج کوارک- پاد کوارک در مقیاس QCD بهصورت جفت شده باقی بمانند و فقط وابسته به یک ممنتوم کرومغناطیس^۴ باشند. در مقایسه با حالت قبل، اگر زوج کوارک- پادکوارک سبک $\bar{u}d$ دارای جرم ناوردای بزرگ باشد، باز کوارک‌ها می‌توانند با یکدیگر در حالت میانی بهطور قوی بر هم کنش داشته باشند و در این حالت نیز می‌توانیم آن‌ها را در یک تکنایی π بهصورت جفت شده داشته باشیم.

بنا بر این، فرضیه‌ای که می‌تواند به خوبی از عهده توضیح واپاشی هادرونی $B \rightarrow D\pi \rightarrow B$ برآید همان روش فاکتور کردن واپاشی‌های هادرونی است که دامنه پراکنده‌ی را بهصورت دو عنصر ماتریسی بهصورت زیر در نظر می‌گیرد [۱۱]:

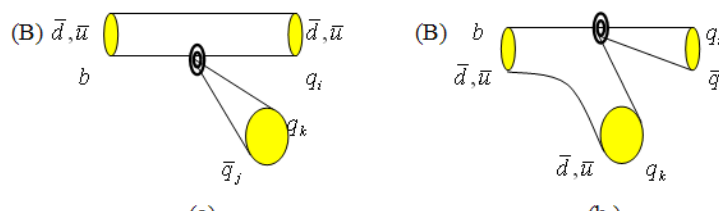
$$\langle D\pi | (\bar{c}b)_{V-A} (\bar{d}u)_{V-A} | B \rangle = \langle D | (\bar{c}b)_{V-A} | B \rangle \times \langle \pi | (\bar{d}u)_{V-A} | 0 \rangle \quad (1)$$

رابطه بالا را می‌توان ساده‌تر کرد، بدین ترتیب که ماتریس عناصر $\langle \pi | (\bar{d}u)_{V-A} | 0 \rangle$ را وابسته به f_π و

$\langle D | (\bar{c}b)_{V-A} | B \rangle$ را وابسته به واپاشی‌های نیمه لیتونی مزون B در نظر گرفت که هر دو این مقادیر از طریق تجربی با استفاده از واپاشی‌های دو ذره‌ای مزون‌ها بدست می‌آیند. برای بهتر تجزیه و تحلیل کردن این واپاشی‌ها، لازم است تصحیحات برد کوتاه اختلال و اثرات مربوط به QCD را در نظر بگیریم. برای مثال وقتی تصحیحات QCD را وارد می‌کنیم عنصرهای ماتریس (۱) تغییر پیدا می‌کنند و از طریق روش فاکتور کردن قابل محاسبه نیستند؛ بلکه باید آن‌ها را از روش بازبه‌هنگارش^۱ در مقیاس μ بدست آورد و در نتیجه هر دو قسمت عناصر ماتریس فاکتور کردن ناوردا نیستند.

شکل ۱ دیاگرام‌های مربوط به واپاشی‌های هادرone مزون‌های \bar{B}^0 و B^- در دو حالت رنگی مجاز^۲ و رنگی فوق العاده^۳ که در اغلب واپاشی‌ها استفاده می‌شوند را نشان می‌دهد [۱۲]. دیاگرام (b) از آن جهت رنگی فوق العاده نامیده می‌شود که اگر رنگ کوارک‌های جفت شده، به‌طور مناسب با یکدیگر در نظر گرفته شوند، می‌توان به‌وسیله آن‌ها هادرone را ساخت. دیاگرام‌های (a) و (b) برای واپاشی‌های هادرone^۰ حالت‌های نهایی متفاوتی را نمایش می‌دهند در حالی که برای واپاشی‌های هادرone⁻ B^- هم حالت‌های نهایی متفاوت و هم حالت‌های تداخلی را نمایش می‌دهند.

کوارک‌های سبک^۴ در ساختن مزون‌های B نقش یک کوارک واسطه را دارند که در هر واپاشی فقط از آن‌ها یک گلئون انتشار پیدا می‌کند. در فرایند برهمکنش‌های ضعیف، واپاشی‌هایی که واسطه هستند، معمولاً دارای فرکانس‌های پایین هستند. مزون‌ها دارای حالت رنگی منفرد^۵ هستند، در نتیجه دیاگرام (b) به دیاگرام (a) به وسیله فاکتور $1/N_c$ که تعداد رنگ‌هاست، وابسته است. به عبارت دیگر، حالت رنگی غیرمجاز، دیاگرام (b)، از حالت رنگی مجاز، دیاگرام (a)، دارای توزیع کوچکتری است. در حالت عمومی دو نوع دیاگرام در حالت نهایی وجود دارد، اما در واپاشی‌های B^- علاوه بر آن می‌تواند بین دیاگرام‌های (a) و (b) تداخل نیز وجود داشته باشد. روش فاکتور کردن بسیار کارآمد است در واپاشی‌های مزون B نسبت به واپاشی‌های مزون D زیرا در واپاشی‌های مزون B انرژی عبوری خیلی زیاد است.



شکل ۱. دیاگرام‌های مربوط به واپاشی‌های هادرone مزون‌های \bar{B}^0 و B^- در دو حالت (a) رنگی مجاز و (b) رنگی فوق العاده

۱.renormalization
۵.colour singlet

۲.colour allowed

۳.colour suppressed

۴.light quarks

واپاشی‌های لیتونی

واپاشی‌های لیتونی مزون B برای تعیین ثابت f_B در روش فاکتور کردن و همچنین تحقیقات بیشتر در فراسوی فیزیک ذرات بنیادی در مدل استاندارد^۱ است [۱۳]. واپاشی‌های لیتونی خالص، $B^- \rightarrow \ell \nu_\ell$ که $\ell = e, \mu, \tau$ است، دارای هلیسیتۀ فوق العاده^۲ است و به راحتی در مدل استاندارد قابل محاسبه است. مدهای واپاشی بار از نابودی بوزون W ناشی می‌شوند. مطابق با [۱۴] عناصر ماتریس جریان^۳ برای ذراتی که با قدرت برهمکنش دارند در برهم کنش‌های ضعیف در سطح مدل کوارک، در حد انرژی‌های پایین برای لیتون‌ها و کوارک‌ها برابر است با:

$$j_{Lepton}^\mu = (e_L^\dagger \tilde{\sigma}^\mu V_{eL} + \mu_L^\dagger \tilde{\sigma}^\mu V_{\mu L} + \tau_L^\dagger \tilde{\sigma}^\mu V_{\tau L}) \quad (۲)$$

$$j_{Quark}^{\mu\dagger} = \sum_{i,j} (u_{jl}^\dagger \tilde{\sigma}^\mu d_{eL}) V_{ij}$$

و دانسیتۀ کل لاگرانژین بر هم کنش برابر است با:

$$L = -2\sqrt{2}G_F (j_{Lepton}^\mu j_{Quark}^{\mu\dagger} + H.C) \quad (۳)$$

لاگرانژین مؤثر^۴ که شامل مزون‌های شبه عددی^۵ است در واپاشی‌های مزون \leftarrow لیتون + نوترينو برابر است با:

$$\begin{aligned} L_{eff} = & (i) j_{Lepton}^\mu [\alpha_\pi \partial_\mu \phi_\pi^- + \alpha_K \partial_\mu \phi_K^- + \alpha_D \partial_\mu \phi_D^- \\ & + \alpha_{D_s} \partial_\mu \phi_{D_s}^- + \alpha_B \partial_\mu \phi_B^- + \alpha_{B_s} \partial_\mu \phi_{B_s}^- + \dots] + H.C \end{aligned} \quad (۴)$$

در رابطه بالا جایگذاری‌های زیر انجام شده است:

$$\bar{d} \gamma^\mu (1 - \gamma_5) u \rightarrow i f_\pi \partial^\mu \phi_\pi^+ \quad (۵)$$

$$\bar{s} \gamma^\mu (1 - \gamma_5) u \rightarrow i f_k \partial^\mu \phi_k^+$$

و غیره. همچنین میدان‌های ϕ^μ شبه بردار^۶ هستند؛ زیرا ϕ شبه عددی است. دامنه این فرایند برابر است با:

$$M = \alpha_i \phi_i p_i^\mu [\bar{u}_\nu (\gamma^\mu (1 - \gamma_5)/2) u_\ell] \quad (۶)$$

این‌جا:

$$\alpha_i = \sqrt{2}G_F f_i V_{ij} \quad (۷)$$

و برای مثال (ϕ_π^-) تابع موج مزون (پایون)، (p_i^μ) چارمنتوں مزون (پایون) و $f_i (f_\pi)$ پارامتر دیمانسیون مزون (پایون) هستند. با استفاده از قانون بقای ممنتوم خواهیم داشت:

$$\vec{p}_i = \vec{p}_\ell + \vec{p}_\nu \quad (۸)$$

و با استفاده از معادله دیراک خواهیم داشت:

$$|\overline{M}|^2 = \alpha_i^2 m_\ell^2 (p_\ell p_\nu) = \alpha_i^2 m_\ell^2 (M_i E_\nu) \quad (۹)$$

^۱.physics beyond the Standard Model

^۲.purely leptonic

^۳.helicity suppressed

^۴.current matrix elements

^۵.Effective Lagrangian

^۶.pseudoscalar mesons

^۷.pseudovector

اینجا $M_i(M_\pi)$ جرم مزون (پایون)، m_ℓ جرم لپتون و E_ν انرژی نوتروینو در چارچوب ساکن مزون است. $(p_\ell p_\nu = (p_i - p_\nu) \cdot p_\nu = p_i p_\nu = M_i E_\nu)$

آهنگ زمانی دیفرانسیلی برای واپاشی $d^3 p_1, d^3 p_2, \dots, d^3 p_n$ برای حالت $Q \rightarrow 1, 2, \dots, n$ با عناصر ممتد $d^3 p_1, d^3 p_2, \dots, d^3 p_n$ به این آهنگ زمانی دیفرانسیلی برابر است با:

$$d\Gamma = \frac{V}{2E_Q} |M|^2 \frac{d^3 p_1}{(2\pi)^3 2E_1} \dots \frac{d^3 p_n}{(2\pi)^3 2E_n} (2\pi)^4 \delta^4(P_Q - P_1 - \dots - P_n) \quad (10)$$

بنابراین آهنگ زمانی واپاشی مزون \leftarrow لپتون + نوتروینو برابر است با:

$$\begin{aligned} \Gamma &= \frac{1}{2M_i} \int |\bar{M}|^2 \frac{dp_\ell}{2E_\ell (2\pi)^3} \frac{dp_\nu}{2E_\nu (2\pi)^3} (2\pi)^4 \delta^4(p_\ell + p_\nu - p_i) \\ &= \frac{1}{2M_i} \frac{1}{4\pi} |\bar{M}|^2 \int \delta(\sqrt{E_\nu^2 + m_\ell^2} + E_\nu - M_i) \frac{E_\nu}{E_\ell} dE_\nu \\ &= \frac{1}{2M_i} |\bar{M}|^2 \frac{1}{4\pi} \frac{E_\nu}{M_i} \end{aligned} \quad (11)$$

بعد از جایگذاری (۱۱) در (۱۱) و کمی ساده کردن خواهیم داشت:

$$\Gamma_{Leptonic} = \frac{\alpha_i}{4\pi} \frac{m_\ell^2 (M_i^2 - m_\ell^2)}{4M_i^3} \quad (12)$$

با مقایسه (۱۲) با نتایج تجربی، برای مثال با واپاشی لپتونی $\mu\nu \rightarrow \pi$ ، مقدار $f_\pi = 0.127 \text{ GeV}$ را بدست می‌آوریم. همچنین با استفاده از [۱۵] خواهیم داشت:

$$\begin{aligned} f_K &= 1.21 f_\pi = 0.1536 \text{ GeV} \\ f_{D_s} &= (2.5 \pm 0.6) f_\pi = 0.3175 \text{ GeV} \end{aligned} \quad (13)$$

در نتیجه،

$$\begin{aligned} \alpha_\pi &= 2.12 \times 10^{-9} \text{ GeV}^{-1} \\ \alpha_K &= 5.81 \times 10^{-10} \text{ GeV}^{-1} \\ \alpha_{D_s} &= (5.3 \pm 1.3) \times 10^{-9} \text{ GeV}^{-1} \end{aligned} \quad (14)$$

با مقایسه کردن عناصر ماتریس لاغرانژین مؤثر کوارک با لاغرانژین مؤثر مزون و به هنگام آن خواهیم داشت:

$$\begin{aligned} \langle 0 | u_{jL}^\dagger \tilde{\sigma}^\mu d_{iL} | (\bar{u}_j d_i)_{PSmeson} \rangle &= -(i/2) f_{meson} \langle 0 | \partial^\mu \phi_{meson} | (\bar{u}_j d_i)_{PSmeson} \rangle \\ &= -(1/2) f_{meson} (p_{meson}^\mu / \sqrt{2E_{meson}}) \end{aligned} \quad (15)$$

آهنگ زمانی تعدادی از واپاشی‌های لپتونی محاسبه و در جدول ۱ آورده شده است.

واپاشی‌های نیمه لیتونی

دیاگرام کوارکی واپاشی‌های نیمه لیتونی در شکل ۲ نمایش داده شده است. لاگرانژین مؤثر برای

$$B \rightarrow D\ell V \rightarrow K\ell V, K \rightarrow \pi\ell V, \pi \rightarrow \pi^0\ell V, \text{ برای مثال } meson1_{PS} \rightarrow meson2_{PS} + \ell + V_\ell$$

با استفاده از رابطه (۳) بدین صورت به دست می‌آید [۱۶]:

$$\begin{aligned} L_{eff} &= \sqrt{2}G_F[j_{Leptonic}^\mu V_{ij} i[f_+ \partial_\mu(\phi_1 \phi_2) + f_- \partial_\mu(\phi_1 \phi_2)] + H.C] \\ &= \sqrt{2}G_F[j_{Leptonic}^\mu V_{ij} i[f_+(\partial_\mu \phi_1 \phi_2 - \phi_1 \partial_\mu \phi_2) + f_-(\partial_\mu \phi_1 \phi_2 + \phi_1 \partial_\mu \phi_2)] + H.C] \end{aligned} \quad (16)$$

در این رابطه جایگذاری $[f_+(\partial_\mu \phi_1 \phi_2 - \phi_1 \partial_\mu \phi_2) + f_-(\partial_\mu \phi_1 \phi_2 + \phi_1 \partial_\mu \phi_2)]$ انجام شده است و ϕ_1 و ϕ_2 توابع موج مزون ۱ و مزون ۲ هستند. در حالت کلی پارامترهای f_+ و f_- که عامل‌های شکل ۱ نامیده می‌شوند، بدون دیمانسیون هستند و تابعی از q^2 اند. از آنجا که $\vec{p}_1 + \vec{p}_2 = \vec{p}$ هستند، و با صرف نظر کردن از وابستگی‌های کوچک انرژی در واپاشی‌های مزون‌ها، می‌توان فرض کرد که عامل‌های شکل به طور کامل از نظر فیزیکی تابعی از q^2 هستند [۱۷]:

$$f_-(q^2) \equiv f_-(0) \quad (17)$$

$$f_+(q^2) \equiv f_+(0),$$

با انتگرال‌گیری جزء به جزء از کنش $\int L_{eff} d^3x dt$ ، فاکتور ترکیب f_- برابر است با:

$$L_{eff} = -\sqrt{2}G_F(\partial^\mu j_{Leptonic}^\mu) V_{ij} i f_-(\phi_1 \phi_2) \quad (18)$$

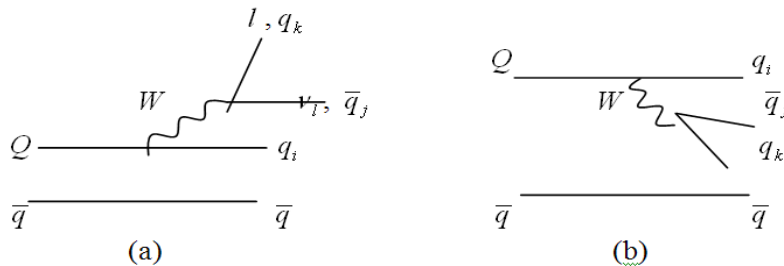
اما $j_{Leptonic}^\mu \sim \bar{q}^\mu$ تقریباً برابر جرم لیتون است و چون جرم لیتون‌ها ناچیز است پس می‌توان از آن‌ها صرف نظر کرد. بنا بر این، لاگرانژین مؤثر برابر می‌شود با:

$$L_{eff} = 2\sqrt{2}G_F[j_{Leptonic}^\mu(i/\sqrt{2})V_{ij} f_{12}[\partial_\mu \phi_1 \phi_2 - \phi_1 \partial_\mu \phi_2]] + H.C \quad (19)$$

این‌جا،

$$f_{12} = f_+ / \sqrt{2} \quad (20)$$

حال با ذکر چندین مثال آهنگ زمانی واپاشی‌های مختلف نیمه لیتونی را به دست می‌آوریم:



شکل ۲. دیاگرام مدل کوارک برای واپاشی‌های مزون‌های مختلف، (a) در حالت رنگی مجاز، (b) در حالت رنگی فوق العاده

^۱.form factors

^۲.Action

$\pi \rightarrow \pi e v_e$: برای واپاشی $\pi^+ \rightarrow \pi^0 e^+ v_e$ ، می توانیم از جرم الکترون صرف نظر کنیم [۱۵]، در نتیجه آهنگ زمانی واپاشی بدین صورت به دست می آید:

$$\Gamma_{SL} = \frac{G_F^2 M_{\pi^+ \pi^0}^5}{30\pi^3} |V_{ud}|^2 |f_{\pi^+ \pi^0}|^2 \left[1 - \frac{5m_e^2}{M_{\pi^+ \pi^0}^2} - \frac{3}{2} \frac{M_{\pi^+ \pi^0}}{m_{\pi^+}} \right] \quad (۲۱)$$

اینجا $M_{\pi^+ \pi^0} = m_{\pi^+} - m_{\pi^0}$ و فاکتور ترکیب طبق داده های آزمایشگاهی برابر $f_{\pi^+ \pi^0} \cong 1.0$ است [۱۵]. برای بقیه حالت ها می توان هم از جرم الکترون، و هم از جرم مزون های سبک صرف نظر کرد. در نتیجه آهنگ زمانی دیفرانسیلی برای پایین ترین مرتبه در تئوری اختلال بدین صورت به دست می آید:

$$\frac{d\Gamma_{SL}}{dq^2} = \frac{G_F^2}{12\pi^3} |V_{ij}|^2 |f_{12}|^2 p_2^3 \quad (۲۲)$$

اینجا ،

$$p_2 = (1/2m_1) \sqrt{[q^2 - (m_1 + m_2)^2][q^2 - (m_1 - m_2)^2]} \quad (۲۳)$$

و p_2 ممتوتم مزون ۲ (مزون ۱ در چارچوب ساکن) و q جرم ناوردای زوج لیتون- نوتربیو است. با انتگرال گیری از (۲۳) آهنگ زمان واپاشی برابر می شود با:

$$\Gamma_{SL} = \frac{G_F^2 m_1^5}{96\pi^3} |V_{ij}|^2 \int_0^{(1-x)^2} |f_{12}|^2 \left([(1+x)^2 - y][(1-x)^2 - y] \right)^{\frac{3}{2}} dy \quad (۲۴)$$

اینجا ،

$$x = m_2/m_1 , \quad y = q^2/m_1^2 \quad (۲۵)$$

در حالت کلی فاکتور ترکیب f_{12} تابعی از q^2 است؛ زیرا برهم کنش های مؤثر غیر موضعی^۱ هستند. با صرف نظر کردن از وابستگی f_{12} به q^2 آهنگ زمان واپاشی برابر است با:

$$\Gamma_{SL} = \frac{G_F^2 m_1^5}{192\pi^3} |V_{ij}|^2 \left(|f_{12}|^2 / 2 \right) \beta(x) \quad (۲۶)$$

اینجا ،

$$\beta(x) = 1 - 8x^2 + 8x^6 - x^8 - 24x^4 \ln(x) \quad (۲۷)$$

اکنون می خواهیم لاگرانژین مؤثر را با لاگرانژین مدل استاندارد مقایسه کنیم. مطابق با (۳) دانسیته لاگرانژین برابر:

$$L = -2\sqrt{2}G_F (j_{Lepton}^\mu j_{Quark}^{\mu\dagger} + H.C) \quad (۲۸)$$

در نتیجه،

$$\langle meson2 | u_{jL}^\dagger \tilde{\sigma}^\mu d_{iL} | meson1 \rangle = \frac{f_{12}}{\sqrt{2}} \frac{(p_1^\mu + p_2^\mu)}{2\sqrt{E_1 E_2}} \quad (۲۹)$$

با توجه به این که مزون ۱ و مزون ۲ در چارچوب ساکن هستند پس از اختلاف جرم ها نیز صرف نظر می کنیم:

^۱.non local

$$\frac{p_1^\mu + p_2^\mu}{2\sqrt{E_1 E_2}} = (1,0,0,0) \quad (\mu = 0,1,2,3) \quad (30)$$

همچنین از آنجا که هر دو مزون‌ها شبه عددی هستند، فقط قسمت برداری توزیع جریان عناصر ماتریس باقی می‌مانند:

$$\langle meson2 | u_{jL}^\dagger \tilde{\sigma}^\mu d_{iL} | meson1 \rangle = (1/2) \langle meson2 | \bar{u}_j \gamma^\mu d_i | meson1 \rangle \quad (31)$$

و چون هر دو مزون‌ها در چارچوب ساکن هستند،

$$\bar{u}_j \gamma^0 d_i = a_{u_j}^\dagger a_{d_i} - a_{\bar{d}_i}^\dagger a_{\bar{u}_j} \quad (32)$$

اینجا a_{d_i} به یک کوارک d_i و $a_{\bar{u}_j}$ به یک پادکوارک \bar{u}_j واپاشیده می‌شوند. فاکتور $\bar{u}_j \gamma^0 d_i$ بطور ساده یک کوارک d_i را با یک کوارک \bar{u}_j یا یک پادکوارک u_j را با یک پادکوارک \bar{d}_i تعویض می‌کند. مطابق با (۳۰) الی (۳۲) عناصر ماتریس فاکتور کردن بدین صورت بدست می‌آید:

$$\langle meson2 | \bar{u}_j \gamma^\mu d_i | meson1 \rangle = (2f_{12}/\sqrt{2})(1,0,0,0) = \sqrt{2} f_{12}(1,0,0,0) \quad (33)$$

برای $\mu = 0$ خواهیم داشت:

$$\langle meson2 | \bar{u}_j \gamma^0 d_i | meson1 \rangle = \sqrt{2} f_{12} \quad (34)$$

برای مثال با انتخاب مزون $1 = \pi^-$ و مزون $2 = \pi^0$ عناصر ماتریس فاکتور کردن برای می‌شود با:

$$\langle \pi^0 | ((u\bar{u} - d\bar{d})/\sqrt{2}) | \bar{u}_j \gamma^\mu d_i | \pi^- | \bar{u}d \rangle = (1/\sqrt{2}) \times 2 = \sqrt{2} \quad (35)$$

مقدار عددی ۲ ناشی از دو دیاگرام فایلمن مربوط به این واپاشی و $f_{12} = 1.0$ است. در جدول ۲ فاکتور ترکیب واپاشی‌های مختلف بر اساس رابطه زیر محاسبه شده است [۱۵]:

$$f_{12}(p_2) = f_{12}(0) \frac{M' - (m_1 - m_2)^2}{M'^2 - q^2} \quad (36)$$

M' جرم مزون برداری $d_i \bar{u}_j$ با کمترین جرم است، برای مثال ρ^\pm در واپاشی $\pi^0 \rightarrow \pi^\pm$ و q^2 در محدوده $(m_1 - m_2)^2 < q^2 < (m_1 - m_2)^2$ انتخاب شود، منتوم مزون ۲ صفر می‌شود ($p^2 = 0$) و همانند مزون ۱ که در چارچوب ساکن دارای منتوم صفر بود، می‌شود. بنا بر این در واپاشی $\pi^0 \rightarrow \pi^-$ هر دو مزون‌های ۱ و ۲ را در چارچوب ساکن در نظر می‌گیریم و از اختلاف جرم‌های آن‌ها صرف‌نظر می‌کنیم. مدلی که برای f_{12} مطابق (۳۶) پیشنهاد کردیم ساده‌ترین مدل کوارک است؛ مثلاً برای واپاشی $\pi^0 \rightarrow K^+$ فاکتور $1/\sqrt{2}$ ناشی از K^+ و فاکتور $1/\sqrt{2}$ ناشی از $(u\bar{u} - d\bar{d})/(1/\sqrt{2})$ است، در نتیجه

$$f_{K^+ \pi^0} = 1/2 \quad \rightarrow \quad f_{K^+ \pi^0} / \sqrt{2} = 1/2\sqrt{2} \quad (37)$$

فاکتور $1/2$ ناشی از رأس بوزون W (vertex W-boson) و خط کوارک ناشی از میدان کوارک چپگرد

$\gamma^\mu(1 - \gamma_5)/2 \rightarrow \gamma^\mu/2$ است؛ زیرا توزیع برداری جریان هنگامی که ممنتوم مزون ۳ صفر باشد به صورت γ^0 ظاهر می‌شود.

$\bar{u}\gamma^\mu(1 - \gamma_5)b \rightarrow i[f_+\partial^\mu(\varphi_B\varphi_\pi) + f_-\partial^\mu(\varphi_B\varphi_\pi)]\bar{B}^0 \rightarrow \pi^+e^-\bar{V}_e$ تعویض $\bar{B}^0 \rightarrow \pi^+e^-\bar{V}_e$ برای واپاشی $B \rightarrow \pi e v_e$ را انجام داده و با استفاده از انتگرال‌گیری جزء به جزء از کنش مؤثر^۱ جملات بر حسب جرم الکترون به دست می‌آیند که در نتیجه می‌توان از جمله فاکتور ترکیب f_- صرفنظر کرد [۱۸]. فاکتور ترکیب f_+ تابعی از

$$q' = (p_e - p_{v_e})^2 \text{ یا } q' = (p_B - p_\pi)^2$$

$\langle \pi^+ | \bar{u}\gamma^\mu(1 - \gamma_5)b | \bar{B}^0 \rangle = (f_+/\sqrt{2E_B}\sqrt{2E_\pi})(p_B + p_\pi)^\mu$ (۳۸)
فاکتور ترکیب f_+ به وسیله واپاشی $\bar{B}^0 \rightarrow \pi^+e^-\bar{V}_e$ بدست می‌آید و آهنگ زمانی دیفرانسیلی این واپاشی

برابر است با [۱۹]:

$$\frac{d\Gamma}{dq'} = \frac{G_F^2}{24\pi^3} |V_{ub}|^2 |f_+(q')|^2 p_\pi^3 \quad (۳۹)$$

اینجا

$$p_\pi = (m_B/2)\sqrt{[(1+x)^2 - (q/m_B^2)][(1-x)^2 - (q/m_B^2)]} \quad (۴۰)$$

$$x = m_\pi/m_B$$

با صرفنظر کردن از وابستگی فاکتور ترکیب f_+ به q' و انتگرال‌گیری روی q' ، آهنگ زمانی واپاشی برابر است با:

$$\Gamma_{SL} = \frac{G_F^2 m_B^5}{768\pi^3} |V_{ij}|^2 |f_+(q')|^2 \beta(x) \quad (۴۱)$$

اینجا $\beta(x)$ با (۲۷) داده شده است و آهنگ زمانی واپاشی برای $B^0 \rightarrow \pi^-e^+\nu_e$ به طور تجربی برابر [۲۰] است. با فرض $\Gamma_{total} = \hbar/\tau_{B^0} = 4.22 \times 10^{-13} GeV$ است. با فرض $\Gamma_{SL} = (1.8 \pm 0.6) \times 10^{-4} \Gamma_{total}$ مقدار $f_+(0) = 0.56 \pm 0.10$ به دست می‌آید.

برای حالتی که فاکتور ترکیب وابسته به q' باشد، البته در نواحی که q' خیلی بزرگ نباشد، می‌توان از این رابطه استفاده کرد [۲۱]:

$$f_+(q') = f_+(0)/[1 - (q'/m_B^2)] \quad (۴۲)$$

با انتخاب $m_B = 5.235 GeV$ مقدار $f_+(0) = 0.41 \pm 0.10$ به دست می‌آید. این فاکتور ترکیب در [۲۲] دارای مقدار $f_+(0) = 0.275 \pm 0.025$ است.

^۱.effective action

برای واپاشی $\bar{B}^0 \rightarrow \rho^+ e^- \bar{V}_e$ با استفاده از [۲۳] تعویض زیر را انجام می‌دهیم:

$$\langle \rho^+ | \bar{u} \gamma^\mu (1 - \gamma_5) b | \bar{B}^0 \rangle = (m_\rho / \sqrt{2E_B} \sqrt{2E_\rho}) [f_1 \mathcal{E}^\mu + f_2 (\mathcal{E} \cdot p_B / m_B^2) (p_B + p_\rho)^\mu + (2i / m_B^2) g \mathcal{E}^{\mu\nu\alpha\beta} \mathcal{E}_\nu p_{\rho\alpha} p_{B\beta}] \quad (۴۳)$$

هنگامی‌که ρ در حالت هلیسیته صفر است، جمله $g \mathcal{E}^{\mu\nu\alpha\beta}$ در رابطه بالا نقشی ندارد. دقت شود که f_1 ، f_2 و g بدون دیمانسیون هستند و \mathcal{E}^μ بردار پلاریزیشن ρ است. ملاحظه می‌کنیم که

$$p_B = (m_B, 0, 0, 0), \quad p_\rho = (E_\rho, 0, 0, p_\rho), \quad \mathcal{E} = (p_\rho, 0, 0, E_\rho) / m_\rho \quad (۴۴)$$

و $(p_B - p_\rho)^2 = (p_e + p_{V_e})^2$ ممنتوں عبوری است. اجازه بدهید زاویه بین e^- و \bar{p} در چارچوب ساکن زوج $e^- \bar{V}_e$ را θ در نظر بگیریم. در این حالت آهنگ زمانی واپاشی برابر است با:

$$\frac{d\Gamma}{dq' d(\cos\theta)} = \frac{G_F^2}{16(2\pi)^3} \frac{p_\rho}{m_B^2} [\left| \sqrt{q'} F_+ \right|^2 (1 + \cos\theta)^2 / 2 + \left| \sqrt{q'} F_- \right|^2 (1 - \cos\theta)^2 / 2 + \left| \sqrt{q'} F_0 \right|^2 \sin^2\theta] \quad (۴۵)$$

اینجا F_+ ، F_- و F_0 مربوط به هلیسیته مثبت، منفی و صفر ρ^+ است. همچنین،

$$\begin{aligned} \left| \sqrt{q'} F_+ \right|^2 &= q' m_\rho^2 (f_1 - g)^2 \\ \left| \sqrt{q'} F_- \right|^2 &= q' m_\rho^2 (f_1 + g)^2 \\ \left| \sqrt{q'} F_0 \right|^2 &= [f_1 (m_B E_\rho - m_\rho^2) + 2 f_2 p_\rho^2]^2 \end{aligned} \quad (۴۶)$$

در نتیجه آهنگ زمانی دیفرانسیلی برابر می‌شود با:

$$\frac{d\Gamma}{dq'} = \frac{G_F^2}{12(2\pi)^3} \frac{p_\rho q'}{m_B^2} [F_+^2 + F_-^2 + F_0^2] \quad (۴۷)$$

به علاوه، ممنتوں عبوری در چارچوب ساکن مزون B برابر است با:

$$q' = (p_B - p_\rho)^2 = m_B^2 + m_\rho^2 - 2m_B E_\rho \quad (۴۸)$$

$$E_\rho = (m_B / 2) [1 + (m_\rho / m_B)^2 - (q' / m_B^2)]$$

برای مقادیر کوچک q' و صرفنظر کردن از جمله $(m_\rho / m_B)^2 = 0.022$ در نتیجه می‌شود که

$$\left| \sqrt{q'} F_0 \right|^2 = m_B^4 [(f_1 + f_2) / 2]^2 \quad \text{و} \quad E_\rho \approx p_\rho \approx m_B / 2$$

می‌شود با:

$$\begin{aligned} \frac{d\Gamma}{dq'} &= \frac{G_F^2 m_B^3}{192\pi^3} \left(1 - \frac{q'}{m_B^2}\right) \{ (2q' / m_B^2) (m_\rho / m_B)^2 (f_1^2 + g^2) \\ &\quad + [(f_1 / 2) + (f_2 / 2) (1 - (q / m_B^2))]^2 (1 - (q / m_B^2))^2 \} \end{aligned} \quad (۴۹)$$

آهنگ زمانی تعدادی از واپاشی‌های نیمه لیتونی محاسبه و در جدول ۳ آورده شده است.

نتیجه‌گیری

در این تحقیق با استفاده از روش فاکتور کردن، واپاشی‌های لیتونی و نیمه لیتونی مزون B بدست آمده است. با فرض الحق یک کوارک- پادکوارک در این مدل و ساختن دامنه پراکندگی به اساس آن توانستیم آهنگ واپاشی‌های مختلف مزون B را بر اساس مدل کوارکی آن محاسبه کنیم. همچنین برای انطباق نتایج تجربی و نتیجه از فاکتورهای ترکیب مربوط به هر واپاشی طبق مدل f_{12} که در این تحقیق بدست آمده است، در محاسبه دامنه واپاشی‌های مختلف مزون B استفاده کردیم. نشان دادیم که آهنگ زمانی واپاشی‌های لیتونی و نیمه لیتونی مزون B در این مدل با نتایج تجربی انطباق خوبی دارند.

جدول ۱. آهنگ زمانی بعضی از واپاشی‌های لیتونی به روش فاکتور کردن

فرآیندها	آهنگ زمانی واپاشی‌ها
$\pi^+ \rightarrow e^+ v_e$	3.0128E-21
$\pi^+ \rightarrow \mu^+ v_e$	2.3548E-17
$K^+ \rightarrow e^+ v_e$	8.0148E-22
$K^+ \rightarrow \mu^+ v_e$	3.1289E-17
$D_s^+ \rightarrow e^+ v_e$	2.6531E-19
$D_s^+ \rightarrow \mu^+ v_e$	1.1309E-14

جدول ۲. فاکتور ترکیب f_{12} ، $f_{12}(0)$ و $f_{12}(\text{model})$ برای واپاشی‌های نیمه لیتونی در روش فاکتور کردن ($\text{meson1} \rightarrow \text{meson2} + e + v_e$)

meson1	meson2	V_{CKM}	f_{12}	$f_{12}(0)$	$f_{12}(\text{model})$
π^+	π^0	V_{ud}	1.00	1.00	1.00
K^+	π^0	V_{us}	0.515	0.588	0.5
K_s^0	π^-	V_u	0.503	0.573	0.5
K_L^0	π^-	V_u	0.503	0.573	0.5
D^+	\bar{K}^0	V_{cs}	0.532	0.806	0.707
D^+	π^0	V_{cd}	0.538	1.655	0.5
D^0	K^-	V_{cs}	0.614	0.928	0.707
D^0	π^-	V_{cd}	0.707	2.11	0.707
D_s^+	η	V_{cs}	0.438	0.692	0.408
D_s^+	η'	V_{cs}	1.464	1.77	0.577
B^+	\bar{D}^0	V_{cb}	0.450	----	0.707
B^+	π^0	V_{ub}	0.5	----	0.5
B^0	D^-	V_{cb}	0.501	----	0.707
B^0	π^-	V_{ub}	0.364	0.387	0.707

جدول ۳. آهنگ زمانی بعضی از واپاشی های نیمه لیتونی به روش فاکتور کردن

فرآیندها	آهنگ زمانی واپاشی ها
$\pi^+ \rightarrow \pi^0 e^+ \nu_e$	2.3954E-25
$K^+ \rightarrow \pi^0 e^+ \nu_e$	2.3548E-17
$K_s^0 \rightarrow \pi^- e^+ \nu_e$	2.4276E-18
$K_L^0 \rightarrow \pi^- e^+ \nu_e$	2.4276E-18
$D^+ \rightarrow \bar{K}^0 e^+ \nu_e$	4.1734E-14
$D^+ \rightarrow \pi^0 e^+ \nu_e$	3.5336E-15
$D^0 \rightarrow K^- e^+ \nu_e$	2.8336E-15
$D^0 \rightarrow \pi^- e^+ \nu_e$	6.0232E-15
$D_s^+ \rightarrow \eta e^+ \nu_e$	3.4991E-14
$D_s^+ \rightarrow \eta' e^+ \nu_e$	1.2245E-14
$B^+ \rightarrow \bar{D}^0 e^+ \nu_e$	6.1612E-15
$B^+ \rightarrow \pi^0 e^+ \nu_e$	1.1426E-16
$B^0 \rightarrow D^- e^+ \nu_e$	5.8225E-17
$B^0 \rightarrow \pi^0 e^+ \nu_e$	7.5622E-17

منابع

1. T. Becher, M. Neubert, B. D. Pecjak, Asymptotics of QCD Factorization in Exclusive Hadronic Decays of B Mesons, Nucl. Phys. B619 (2001) 538.
2. S. Stone, Experimental Results in Heavy Flavor Physics, Eur. Phys. J. C33 (2004) 129.
3. Z. Song, K. T. Chao, Problems of QCD factorization in exclusive decays of B meson to charmonium, Phys. Lett. B568 (2003) 127.
4. M. Beneke, M. Neubert, QCD factorization for $B \rightarrow PP$ and $B \rightarrow PV$ decays, Nucl. Phys. B675 (2003) 333.
5. B. Z. Kopeliovich, J. Nemchik, A. Schaefer, A.V. Tarasov, Color Transparency versus Quantum Coherence in Electroproduction of Vector Mesons off Nuclei, Phys. Rev. C65 (2002) 035201.
6. T. Iwama, A. Kohama, K. Yazaki, Nuclear Transparency in a Relativistic Quark Model, Nucl. Phys. A627 (1997) 620.

7. M. Beneke, G. Buchalla, M. Neubret, T. Sachrajda, QCD Factorization for $B \rightarrow \pi\pi$ Decays: Strong Phases and CP Violation in the Heavy Quark Limit, Phys. Rev. Lett. 83 (1999)1914.
8. B. P. Kersevan, E. R. Was, Improved Phase Space Treatment of Massive Multi-Particle Final States, Eur. Phys. J. C39 (2005) 439.
9. D. Ebert, R. N. Faustov, V. O. Galkin, Semileptonic decays of heavy baryons in the relativistic quark model, Phys. Rev. D73 (2006) 094002.
10. J. Nemchik, Study of Color Transparency in Production of Vector Mesons off Nucle, Czech. J. Phys. 53 (2003) 301.
11. R. Aleksan, T. Petersen, A. Soffer, Measuring the Weak Phase gamma in Color Allowed $B \rightarrow DK\pi$ Decays, Phys. Rev. D67 (2003) 096002.
12. J. O. Eeg, S. Fajfer, A. Hiorth, On the Colour Suppressed Decay Modes $B^0 \rightarrow D_s D_s$ and $\bar{B}^0 \rightarrow D^+ D^-$, Phys. Lett. B570 (2003) 46.
13. I. Z. Rothstein, Factorization, Power Corrections and the Pion Form Factor, Phys. Rev. D70 (2004) 054024.
14. W. N. Cottingham, D. A. Greenwood, An Introduction to the Standard Model of Particle Physics, Cambridge University Press (1998).
15. A. Ali, C. Greub, An analysis of two-body non-leptonic B decays involving light mesons in the standard model, Phys. Rev. D57 (1998) 2996.
16. T. Huang, X. G. Wu, X.H. Wu, Pion Form Factor in the k Factorization Formalism, Phys. Rev. D70 (2004) 053007.
17. A. V. Belitsky, X. Ji, F. Yuan, Perturbative QCD Analysis of the Nucleon's Pauli Form Factor $F_2(Q^2)$, Phys. Rev. Lett. 91 (2003) 092003.
18. A. P. Bakulev, K. Passek-Kumericki, W. Schroers, N. G. Stefanis, Pion form factor in QCD: From nonlocal condensates to NLO analytic perturbation theory, Phys. Rev. D70 (2004) 033014.
19. L. B. Okun, Leptons and Quarks, Cambridge University Press (1982).
20. C. Amsler et al., Particle Data Group, Phys. Lett. B. 667 (2008) 1.
21. H. Y. Cheng, C. K. Chua, A. Soni, Final state interaction in hadronic B decays, Phys.

- Rev. D. 71 (2005) 014030.
22. M. Beneke, G. Buchalla, M. Neubert, C. T. Sachrajda, QCD factorization for exclusive, nonleptonic B meson decays: General arguments and the case of heavy-light final states, Nucl. Phys. B591 (2000) 313.
23. J. F. Donoghue, E. Golowich, B. R. Holstein, Dynamics of the Standard Model, Cambridge University Press (1992).